

简报

牛凝乳酶原cDNA的序列及其缺失机制的分析

谭思元 张渝英 刘彤瑶

刘年娟 杨开宇

(中国科学院微生物研究所, 北京)

前文报道, pCT5及pCT15均带有凝乳酶原cDNA的插入片段。根据酶谱分析, 前者5'端缺少约80bp, 后者在编码区域中部有缺失^[1]。我们从pCT5及pCT15出发, 完成了凝乳酶原cDNA的序列分析, 并讨论了pCT15的缺失机制。

实验部分

整个工作分两步进行: 第一, 完整基因的拼接; 第二, 序列分析。

(一) 拼接是与构建表达质粒同时进行的。首先, 将pDR720中Trp启动子部分(HindⅢ-BamHⅠ片段)亚克隆到pUC19中, 通过BamHⅠ切点引入人工接头。人工接头含有起始密码子ATG、凝乳酶原前五个氨基酸的编码区以及新的BamHⅠ切点, 这样得到pTrL9。其次, 将pCT5中的凝乳酶原基因3'端约1.1kb的PstⅠ片段亚克隆到pUC19中, 以便利用pUC19上的多酶切位点。截取此亚克隆的EcoRⅠ-SmaⅠ片段, 以及pCT15中目的基因5'端的BamHⅠ-EcoRⅠ片段, 将二者同时引入pTrL9中, 获得含有Trp启动子、ATG及凝乳酶原cDNA的质粒pTLC23(图1)。

(二) 对pTLC23中凝乳酶原cDNA进行亚克隆, 其战略如图2所示。克隆载体分别为M13mp18、M13mp19以及pBluescript(+)、pBluescript(-)。后二者在辅助病毒作用下, 可获取单链DNA^[2]。制备单链模板DNA, 并按双脱氧末端终止法进行序列分析^[3]。

结果与讨论

(一) 凝乳酶原的核苷酸序列见图3。已知凝乳酶原有A、B两种类型。主要区别在于286位的氨基酸残基不同。前者为Asp, 后者为Gly。根据图3, 可以确定我们所获得的cDNA为编码凝乳酶原B的基因。

(二) 关于凝乳酶原cDNA的序列已有三个实验室用Maxam & Gilbert的化学法进行了测定^[4-6], 但结果不尽相同, 与Foltmann的氨基酸序列分析结果^[7]进行比较, 也有一些区别。现在, 我们提供了用双脱氧末端终止法所测得的结果, 这对于分析已有数据之间的矛盾将有一定的帮助。

Harris等^[8]所报道的凝乳酶原cDNA序列中, 在384、960位为A, 769位为T, 而Moir等^[6]的结果分别为G、G、C, 并认为前者用化学法只测定了一条链, 可能有误。我们的数据为Moir等的论点提供了旁证。

根据cDNA序列所导出的凝乳酶原氨基酸序列中, 在214位, Harris等^[5]测定为Asn, 而Nishimori等^[4], Moir等^[6]和我们的结果都为Asp; 在319位, Nishimori等测定为Gly, 而Harris等、Moir等和我们的结果都为Ser。再对照Foltmann^[7]所报道的直接氨基酸序列分析结果, 结论是在214位应为Asp, 319位应为Ser。

本文于1988年10月20日收到。

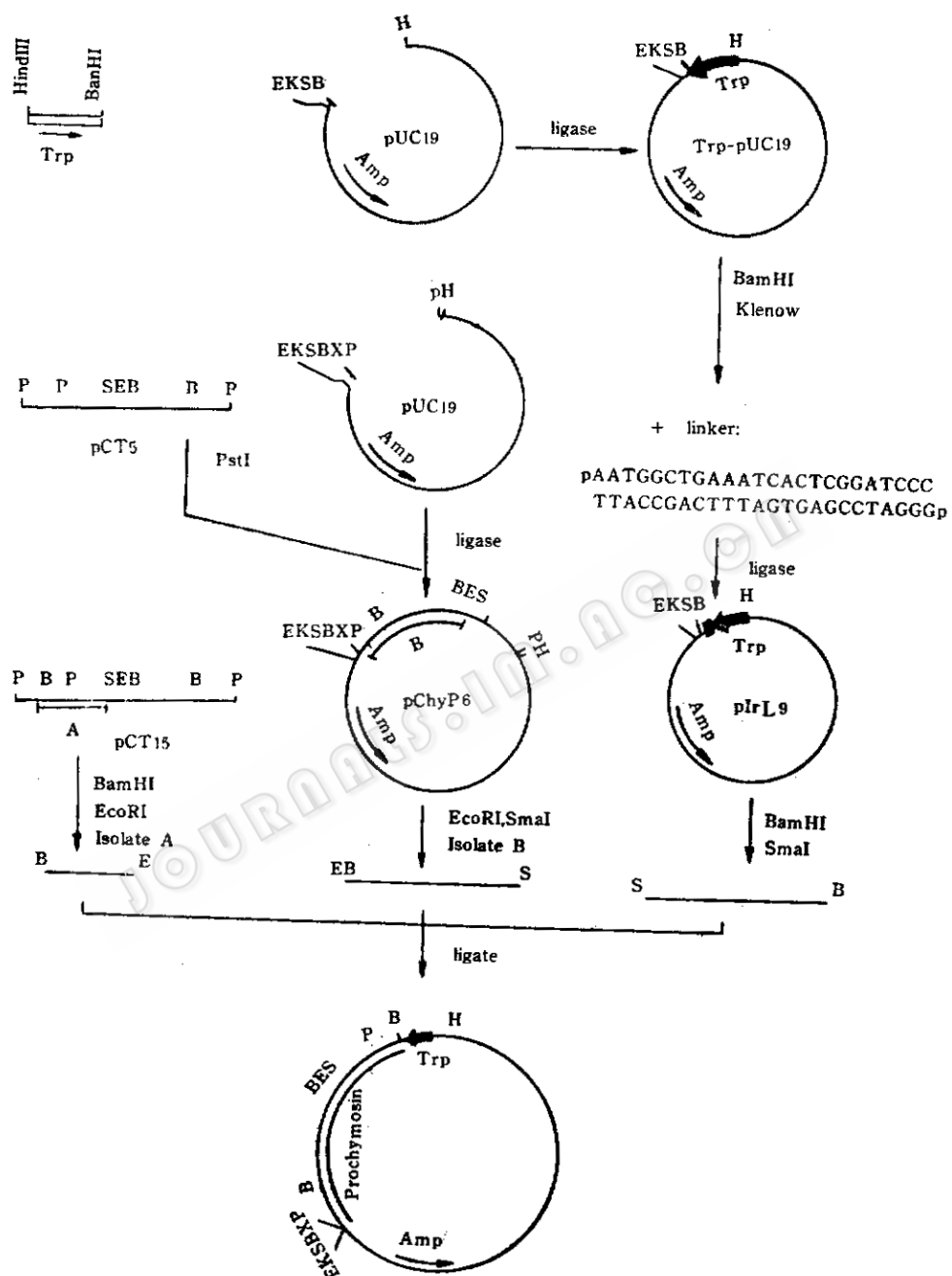


图1 质粒pTLC23的构建

Fig. 1 Construction of plasmid pTLC23

Abbreviations: B, BamHI; E, EcoRI; H, HindIII;
K, KpnI; P, PstI; S, SmaI; X, XbaI

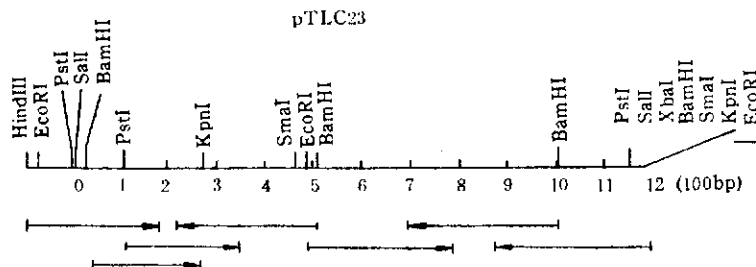


图 2 凝乳酶原cDNA的限制性内切酶谱及其克隆战略
Fig. 2 Restriction map and sequencing strategy for prochymosin cDNA

文献报道根据cDNA序列所导出的凝乳酶原一级结构都表明在202位为Asn，而氨基酸序列分析结果为Asp，并认为这很可能是在氨基酸序列分析时发生了脱氨，以致将Asn误定为Asp，我们的结果支持这一论点。

(三) Moir等^[6]和我们在构建凝乳酶原cDNA库时都发现，在某些克隆的编码区域中部发生缺失，对于这种缺失的原因一直没有确切的解释。经过DNA序列分析，确证pCT15缺失部分为862—960位。对照Hidaka等^[8]报道的包括内含子在内的凝乳酶原基因全序列发现，这一片段正好在内含子G和内含子H之间。已知，内含子剪切总是以GT起始，AG告终，而这段序列的末尾正好是AG，因此，有理由认为，这段序列是在mRNA前体后加工时被删除的。一种可能是在剪切内含子G时错误地利用这个信号将此片段同时切下，然后再剪切内含子H，这样拼接成

功的成熟mRNA便缺失了这一段。另一种可能是在剪切时利用内含子G的起始信号和内含子H的终止信号，把两个内含子及它们中间的外显子序列同时删除。按照上述机理完全可以解释Moir等所获得的克隆R207。在R207中，缺失部位为内含子E和F之间的外显子序列，其结尾也正好是AG，这些特点为缺失提供了条件。至于这种缺失机理是否适用于凝乳酶原以外的cDNA库中，尚不得而知。

已在报道的5个凝乳酶原cDNA库中，有2个cDNA库中出现外显子缺失的克隆，说明这种缺失不是偶然现象。如上分析，这种缺失正是体内mRNA前体错误后加工引起的，而不是人为的结果。考虑到生物体内各种机能都是在严格调控的基础上进行的，我们怀疑这类外显子序列的缺失是否与调控机制有关，以适应某种生理需要，而不是一种简单的“错误”后加工。

CTGCAAGGTGACGGATCAATG

Ala Glu Ile Thr Arg Ile Pro Leu Tyr Lys Gly Lys Ser Leu Arg Lys Ala Leu Lys Glu 20
 GCT GAA ATC ACT CGG ATC CCT CTG TAC AAA GGC AAG TCT CTG AGG AAG GCG CTG AAG GAG
 His Gly Leu Leu Glu Asp Phe Leu Glu Lys Glu Gln Tyr Gly Ile Ser Ser Lys Tyr Ser 40
 CAT GGG CTT CTG GAG GAC TTC CTG CAG AAA CAB CAG TAT GGC ATC AGC AGC AAG TAC TCC
 Gly Phe/Gly Glu Val Ala Ser Val Pro Leu Thr Asn Tyr Leu Asp Ser Glu Tyr Phe Gly 60
 GGC TTC/GGG GAG GTG GCC AGC GTG CCC CTG ACC AAC TAC CTG BAT AGT CAG TAC TTT GGG
 Lys Ile Tyr Leu Gly Thr Pro Pro Glu Phe Thr Val Leu Phe Asp Thr Gly Ser Ser 80
 AAG ATC TAC CTC GGG ACC CCG CCC CAG GAG TTC ACC GTG CTG TTT GAC ACT GGC TCC TCT
 Asp Phe Trp Val Pro Ser Ile Tyr Cys Lys Ser Asn Ala Cys Lys Asn His Glu Arg Phe 100
 GAC TTC TGG GTA CCC TCT ATC TAC TGC AAG AGC AAT GGC TGC AAA AAC CAC CAB CEC TTC
 Asp Pro Arg Lys Ser Ser Thr Phe Glu Asn Leu Gly Lys Pro Leu Ser Ile His Tyr Gly 120
 GAC CCB AGA AAG TCG TCC ACC TTC CAG AAC CTG GGC AAG CCC CTG TCT ATC CAC TAC TAC GGG
 Thr Gly Ser Met Glu Gly Ile Leu Gly Tyr Asp Thr Val Thr Val Ser Asn Ile Val Asp 140
 ACA GGC AGC ATG CAG GGC ATC CTG GGC TAT GAC ACC GTC ACT GTC TCC AAC ATT GTG GAC
 Ile Glu Glu Thr Val Gly Leu Ser Thr Glu Glu Pro Gly Asp Val Phe Thr Tyr Ala Glu 160
 ATC CAB CAB ACA GTA GGC CTC ABC ACC CAG GAG CCC GGG GAC GTC TTC ACC TAT GCC GAA
 Phe Asp Gly Ile Leu Gly Met Ala Tyr Pro Ser Leu Ala Ser Glu Tyr Ser Ile Pro Val 180
 TTC GAC GGG ATC CTG GGG ATG GCC TAC CCC TCG CTC GCC TCA GAG TAC TCG ATA CCC GTG
 Phe Asp Asn Met Met Asn Arg His Leu Val Ala Glu Asp Leu Phe Ser Val Tyr Met Asp 200
 TTT GAC AAC ATG ATG AAC AAG CAC CTG GTG GCC CAA GAC CTG TTC TCG GTT TAC ATG GAC
 Arg Asn Gly Glu Glu Ser Met Leu Thr Leu Gly Ala Ile Asp Pro Ser Tyr Tyr Thr Gly 220
 AGG AAT GGC CAG GAG AGC ATG CTC ACG CTG GGG GCC ATC GAC CGG TCC TAC TAC ACA GCG
 Ser Leu His Trp Val Pro Val Thr Val Glu Glu Tyr Trp Glu Phe Thr Val Asp Ser Val 240
 TCC CTG CAC TGG GTG CCC GTG ACA GTG CAG CAG TAC TGG CAG TTC ACT GTG GAC AGT GTC
 Thr Ile Ser Gly Val Val Val Ala Cys Glu Gly Gly Cys Glu Ala Ile Leu Asp Thr Gly 260
 ACC ATC AGC GGT GTG GTG GCC TGT GAG GGT GGC TGT CAG GGC ATC CTG GAC ACG GGC
 Thr Ser Lys Leu Val Gly Pro Ser Ser Asp Ile Leu Asn Ile Glu Glu Ala Ile Gly Ala 280
 ACC TCC AAG CTG GTC GGG CCC AGC AGC GAC ATC CTC AAC ATC CAG CAG GGC ATT GGA GGC
 Thr Glu Asn Glu Tyr Gly Glu Phe Asp Ile Asp Cys Asp Asn Leu Ser Tyr Met Pro Thr 300
 ACA CAG AAC CAG TAC GGT GAG TTT GAC ATC GAC TGC GAC AAC CTG AGC TAC ATG CCC ACT
 Val Val Phe Glu Ile Asn Gly Lys Met Tyr Pro Leu Thr Pro Ser Ala Tyr Thr Ser Glu 320
 GTG GTC TTT GAG AIC AAT GGC AAA ATG TAC CCA CTG ACC CCC TCC GGC TAT ACC AGC CAG
 Asp Glu Gly Phe Cys Thr Ser Gly Phe Glu Ser Glu Asn His Ser Glu Lys Trp Ile Leu 340
 GAC CAG GGC TTC TGT ACC AGT GGC TTC CAG AGT GAA AAT CAT TCC CAG AAA TGG ATC CTG
 Gly Asp Val Phe Ile Arg Glu Tyr Tyr Ser Val Phe Asp Arg Ala Asn Asn Leu Val Gly 360
 GGG GAT GTT TTC ATC CGA GAG TAT TAC AGC GTC TTT GAC AGG GCC AAC AAC CTC GTG GGG
 Leu Ala Lys Ala Ile *** 380
 CTG CCC AAA GGC ATC TGATCACATEGCTGACCAAGAACTCACTGTCCTCACACACAC

图3 凝乳酶原cDNA的核苷酸序列

Fig. 3 Nucleotide sequence of prochymosin cDNA

核苷酸及氨基酸序列的编号均从凝乳酶原开始。斜线表示凝乳酶原和凝乳酶的连接处

The nucleotide sequence and amino acid sequence is numbered from the beginning of prochymosin.

The oblique line indicates the junction between prochymosin and chymosin

参考文献

- [1] 谭思元等: 生物工程学报, 4(2):81—87, 1988.
- [2] Russel, M. et al.: *Gene*, 45:333—338, 1986.
- [3] Sanger, F. et al.: *J. Mol. Biol.*, 143:161—178, 1980.
- [4] Nishimori, K. et al.: *J. Biochem.*, 91:1085—88, 1982.
- [5] Harris, T.J.R. et al.: *Nucleic Acids Res.*, 10(7):2177—78, 1982.
- [6] Moir, D. et al.: *Gene*, 19:127—138, 1982.
- [7] Foltmann, R.I. et al.: *Proc. Natl. Acad. Sci., USA*, 74:2321—24, 1977.
- [8] Hidaka, M. et al.: *Gene*, 43:187—203, 1986.

NUCLEOTIDE SEQUENCE OF BOVINE PROCHYMOSEN cDNA AND THE MECHANISM OF cDNA DELETION

Tan Siyuan Zhang Yuying Liu Tongyao

Liu Nianjuan Yang Kaiyu

(Institute of Microbiology, Academia Sinica, Beijing)

A plasmid pTLC23 harbouring entire cDNA sequence coding for prochymosin was constructed from clones pCT5 and pCT15. The nucleotide sequence of the complete cDNA insert determined by using dideoxy sequencing method indicates that the cloned DNA apparently represents the coding sequence for prochymosin B. Based on the data presented here, the differences between the DNA sequences reported by Nishimori et al., Harris et al. and Moir et al. were discussed as well.

DNA sequence analysis reveals that the deletion in pCT15 covers positions 862—960. The missing sequence is characterized as an entire exon between intron G and intron H of prochymosin gene and by ending with splicing signal AG, suggesting the deletion in middle region of coding sequence results from the incorrect splicing of pre-mRNA.

Key words

Prochymosin; molecular cloning; recombinant DNA; deletion; pre-mRNA splicing